

Д. ф.-м. н. А. В. КАРИМОВ, к. ф.-м. н. Д. М. ЁДГОРОВА,  
к. ф.-м. н. Э. Н. ЯКУБОВ

Узбекистан, г. Ташкент. НПО «Физика–Солнце»  
E-mail: karimov@uzsci.net

Дата поступления в редакцию  
12.05 2009 г.

Оппонент к. ф.-м. н. З. Ф. ЦИБРИЙ  
(ИФП им. В. Е. Лашкарёва, г. Киев)

## КОРРЕЛЯЦИЯ ПАРАМЕТРОВ АРСЕНИД-ГАЛЛИЕВЫХ ЭПИТАКСИАЛЬНЫХ СЛОЕВ И ТЕХНОЛОГИИ ИХ ВЫРАЩИВАНИЯ

*Экспериментально установлено, что изменяя условия выращивания, можно получать эпитаксиальные слои с требуемыми параметрами (толщиной, подвижностью и концентрацией носителей заряда).*

При разработке полупроводниковых структур на основе тонких (около 1 мкм) эпитаксиальных слоев и пористых структур стоит задача определения (прямо или косвенно) их основных параметров. Однако для пористых материалов интерпретация результатов измерения подвижности носителей заряда традиционными методами (например при помощи эффекта Холла) затруднена в силу их низких значений. В этом случае предлагается оценивать подвижность носителей по времени их пролета через образец [1].

С практической точки зрения особенно важной становится задача оценки электрофизических параметров арсенида галлия, определяющих свойства полупроводниковых приборов на его основе [2]. В частности, для получения структур с высокой фоточувствительностью необходимо формировать их активные области с максимально возможной подвижностью носителей заряда, а для термочувствительных структур следует подавить зависимость подвижности от температуры.

Таким образом, знание путей управления характеристиками носителей заряда с учетом зависимости их подвижности от концентрации играет важную роль в развитии технологии получения полупроводниковых структур. В этом аспекте, изменение температурного режима получения активной области также может служить инструментом управления зависимостью подвижности носителей от их концентрации.

Изучение этих сложных зависимостей требует привлечения соответствующих методов определения подвижности носителей в активной области, например метод определения подвижности носителей по температурной зависимости выходных вольт-амперных характеристик модельных структур типа полевого транзистора [3]. На объемных образцах подвижность носителей заряда и тип проводимости определяется широко используемым методом, основанным на эффекте Холла [4]. Однако эти методы не позволяют

точно определить подвижность носителей заряда в тонких эпитаксиальных слоях, поскольку требуют изготовления образцов определенных размеров. Так, в наиболее широко используемых методах, основанных на эффекте Холла и магниторезистивном эффекте, соотношение геометрических размеров образца и местоположение контактов могут существенно влиять на результаты измерений. Согласно теории, металлические контакты к образцам, предназначенным для измерения ЭДС Холла, должны иметь малую площадь, чтобы не исказить линии тока в образце. Поэтому в ряде случаев к измеряемым образцам создают боковые отростки гантелеобразной формы. При этом образец должен быть достаточно длинным.

Для образцов с симметричным расположением двух ЭДС-контактов отношение длины образца к ширине должно быть больше четырех. При исследовании образцов произвольной формы используют четырехзондовый метод [4]. Следует отметить, что при измерениях по методу «ЭДС Холла» в высокоомных образцах параметр, определяющий подвижность носителей заряда ( $\Delta\rho_x/\rho$ ), изменяется под воздействием магнитного поля лишь на 2%, а в случае коротких образцов, когда проявляется эффект геометрического магнитосопротивления, изменения  $\Delta\rho_x/\rho$  составляют около 50% [4]. Кроме того, методы Холла для измерения параметров образцов с тонкой активной областью или малыми размерами не могут быть использованы напрямую. Например, в экспрессном методе необходимо поддерживать задаваемое фиксированное значение тока [5]. Применительно к тонким пленкам необходимо сохранять низкие значения тока (от 10 до 100 мА), которые не могут быть обеспечены с помощью стандартных блоков питания. Вопрос требует особого решения.

Целью настоящей работы является определение экспресс-методом подвижности носителей заряда в эпитаксиальных слоях, служащих активной областью полупроводниковой структуры, и установление корреляции между технологическими условиями ее получения и основными параметрами активной области (например, эпитаксиального слоя арсенида галлия *n*-типа проводимости, служащего каналом полевого транзистора с управляющим *p*–*n*-переходом, а также активной областью структур с барьером Шоттки).

## ТЕХНОЛОГИЧЕСКИЕ ПРОЦЕССЫ И ОБОРУДОВАНИЕ

### Усовершенствование экспресс-методики определения подвижности носителей заряда

По сравнению с известными, используемая в [5] методика определения подвижности носителей в диодах Ганна является экспрессной. В этом методе, наряду с поддержкой фиксированного значения рабочего тока, необходимо выполнять условие линейности зависимости тока от напряжения, т. е. необходимо проводить измерения при малых напряжениях (порядка 0,025—0,08 В).

Для реализации экспресс-метода измерения подвижности носителей заряда в тонких пленках в измерительную установку Холла был введен специальный узел (**СУ**) на полевом транзисторе, обеспечивающий прецизионное регулирование фиксированного тока через исследуемый образец (рис. 1). Магнитный узел (**МУ**) выполнен на электромагните, напряженность магнитного поля которого регулируется изменением рабочего тока. Его питание осуществляется от стабилизатора с выпрямителем, который через переключатель  $\Pi_2$  соединяется с катушкой электромагнита  $L$ . Ток катушки изменяется с помощью регулятора  $R_2$  и фиксируется амперметром  $A$ . Значение напряженности магнитного поля определяется измерителем. Блок измерения состоит из источника тока  $E$ , переключателя полярности  $\Pi_1$  и СУ на полевом транзисторе (**ПТ**), ток которого регулируется резистором  $R_1$ . От держателя образца **ДО** идут выводы для подключения образцов Холла, предназначенных для измерения как проводимости, так и подвижности носителей заряда. Выбор режимов осуществляется переключателем  $\Pi_3$ . В режиме тока Холла к токоподводящим контактам подключается вольтметр.

Следует отметить, что традиционно подвижность носителей заряда по току Холла определяется на основании измерений сопротивления образца в отсутствие магнитного поля  $R(0)=V(0)/I(0)$  и в магнитном

поле  $R(B)=V(B)/I(B)$ , где  $I(0)$  и  $I(B)$  — соответствующие токи Холла. Затем эти значения подставляют в формулу для определения подвижности носителей заряда:

$$\mu_F = \frac{1}{B} \left[ \frac{\Delta R(B)}{R(0)} \right]^{1/2}, \quad (1)$$

где  $\Delta R=R(0)-R(B)$ .

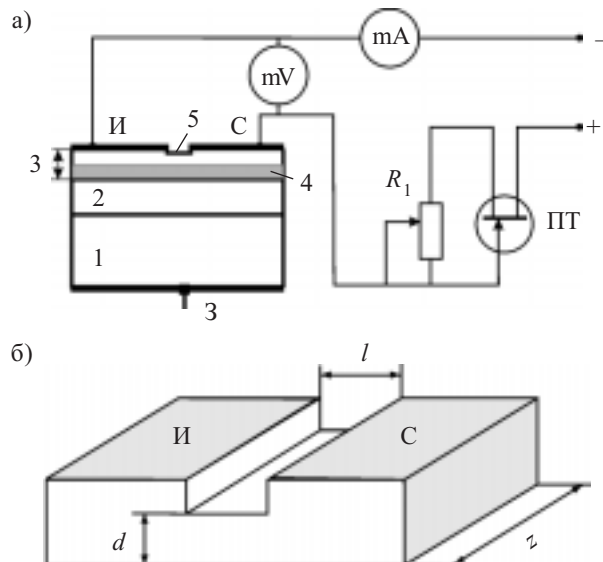


Рис. 2. Структура типа полевого транзистора с эпитаксиальным  $p-n$ -переходом:  
а — подключение в режиме плавающего затвора к схеме экспресс-установки Холла; б — сечение активной области;  $l$  — подложка  $p^+GaAs$ ; 2 — промежуточный слой  $pGaAs$ ; 3 — эпитаксиальный слой  $nGaAs$ ; 4 — слой объемного заряда; 5 — расстояние между стоком С и истоком И (длина канала  $l$ ); 3 — затвор;  $z$  — ширина канала

$a$  — подключение в режиме плавающего затвора к схеме экспресс-установки Холла;  $b$  — сечение активной области;  $l$  — подложка  $p^+GaAs$ ; 2 — промежуточный слой  $pGaAs$ ; 3 — эпитаксиальный слой  $nGaAs$ ; 4 — слой объемного заряда; 5 — расстояние между стоком С и истоком И (длина канала  $l$ ); 3 — затвор;  $z$  — ширина канала

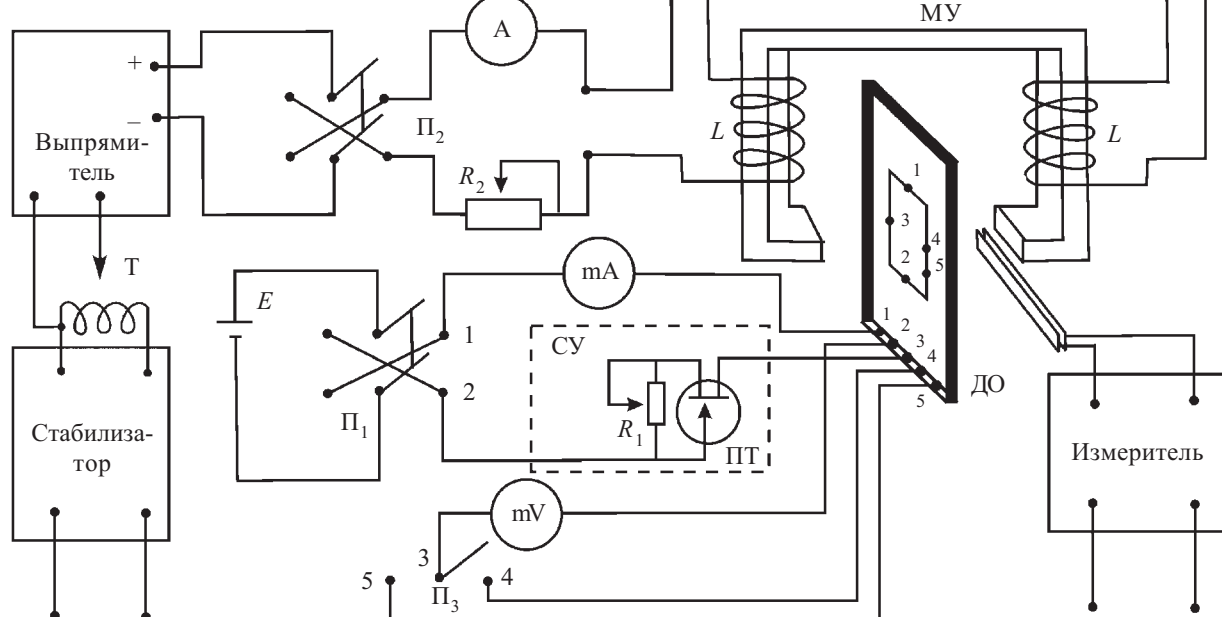


Рис. 1. Блок-схема универсальной усовершенствованной измерительной установки Холла

## ТЕХНОЛОГИЧЕСКИЕ ПРОЦЕССЫ И ОБОРУДОВАНИЕ

В нашем же случае при заданном фиксированном токе  $I=\text{const}$ , задаваемом СУ, измеряли падение напряжения в отсутствие магнитного поля  $V(0)$  и в магнитном поле  $V(B)$ , и определяли подвижность носителей заряда по формуле [5]

$$\mu_{\Gamma} = \frac{1}{B} \left[ \frac{\Delta V(B)}{V(0)} \right]^{1/2}, \quad (2)$$

где  $\Delta V = V(B) - V(0)$ , причем  $\mu_{\Gamma} B \ll 1$ .

Затем на основании данных о подвижности носителей заряда и геометрических размеров образца оценивали концентрацию носителей заряда по формуле

$$N = l / (q \mu_{\Gamma} S R), \quad (3)$$

где  $l$  — расстояние между контактами;

$\mu_{\Gamma}$  — подвижность носителей заряда;

$S$  — сечение активной области,  $S = dZ$  (рис. 2, б).

Возможности настоящей методики можно расширить вплоть до определения подвижности по толщине активной области.

### Исследование корреляции основных параметров активной области и технологических условий роста пленок

Предложенную методику можно применить для установления корреляции технологического процесса и параметров выращиваемых активных слоев. Для этой цели были изготовлены модели структуры типа полевого транзистора. Подключение модели к схеме измерительной установки показано на рис. 2. Исследуемые структуры получены по технологии создания резких  $p-n$ -переходов [6] методом жидкостной эпитаксии на подложках  $p^+/\text{GaAs}$  с выращенным промежуточным слоем  $p/\text{GaAs}$  и эпитаксиальным слоем  $n/\text{GaAs}$ , создающим  $p-n$ -переход со слоем объемного заряда.

В растворе-расплаве ( $\text{Ga} + \text{GaAs}$ ), из которого выращивался эпитаксиальный слой  $n/\text{GaAs}$ , в одном случае растворяли монокристаллический  $n/\text{GaAs}$ , легированный  $\text{Te}$  с концентрацией  $N = 2 \cdot 10^{16} \text{ см}^{-3}$ , в другом случае —  $\text{GaAs}$ , содержащий по 0,1%  $\text{Te}$  и  $\text{Si}$ , и в последнем случае —  $n/\text{GaAs}$ , легированный  $\text{Sn}$ . В результате были получены образцы с  $p-n$ -переходами, где  $n$ -области отличаются друг от друга легирующими примесями. Подложки из монокристаллического  $p^+/\text{GaAs}$ , ориентированные в кристаллографическом направлении  $\{100\}$ , площадью  $10 \times 10 \text{ мм}$ , имели толщину  $350—400 \text{ мкм}$ . Толщина выращенных эпитаксиальных слоев  $n/\text{GaAs}$  составляла  $0,5—1,5 \text{ мкм}$ . На их поверхности для формирования омических контактов, выполняющих роль стока (**C**) и истока (**И**), через маску напыляли сначала  $\text{Sn}$ , а затем —  $\text{Ni}$ . Расстояние между контактами, т. е. длина канала  $l$ , составляло  $50 \text{ мкм}$ , ширина канала —  $0,7—1,0 \text{ мм}$  при площади контакта стока (истока)  $0,5—1 \text{ мм}^2$ . Толщина слоя активной области  $d$  доводилась до  $0,5 \text{ мкм}$  травлением в специальном растворе  $5\% \text{ NaOH} + 30\% \text{ H}_2\text{O}_2$  (при соотношении частей 5:1). С тыльной стороны подложки напылением никеля формировали контакт затвора (**З**). В исследуемых образцах отношение длины канала к ширине удовлетворяет условию  $(l/Z) \ll 1$ , что обеспечивает высокую точность измерений [5].

На основании исследования экспресс-методом концентрации и подвижности носителей заряда в моделях структур были получены исходные данные для определения корреляции параметров выращиваемых слоев с технологическими процессами. Известно, что при выборе технологии получения эпитаксиальных слоев основными критериями являются начальная и конечная температура роста пленок, т. к. подвижность носителей в выращенных пленках зависит от концентрации примесей, а концентрация, в свою очередь, зависит от температуры. Управляя начальной температурой процесса роста, можно получить режимы выращивания эпитаксиальных слоев с высокой подвижностью носителей заряда, необходимой для улучшения фотоусилительных свойств структур с  $p-n$ -переходом (например фотодиодов и фототранзисторов).

Было изучено влияние изменения начальной температуры технологического процесса на параметры выращенных слоев с различными легирующими примесями. Экспериментальные структуры, полученные при разных технологических режимах, подключали к измерительной установке Холла (рис. 1), данные измерений подставляли в формулы (2) и (3). Результаты вычислений приведены в табл. 1. Как видно, в слоях, легированных одновременно  $\text{Te}$  и  $\text{Si}$ , подвижность носителей заряда ( $1000—500 \text{ см}^2/\text{Вс}$ ) в два и более раза меньше, чем в слоях, легированных только  $\text{Te}$  ( $3200—1200 \text{ см}^2/\text{Вс}$ ).

Таблица 1  
Результаты расчета подвижности носителей заряда и их концентрации в эпитаксиальных слоях с различными легирующими примесями

Примесь	$T_{\text{нач}}, ^\circ\text{C}$	$I_{\text{СИ}}, 10^{-4} \text{ А}$	$\mu_{\Gamma}, \text{ см}^2/\text{Вс}$	$N, 10^{16} \text{ см}^{-3}$
Te	850	6	3200	1
Te	850	25	3200	1
Te	852	8	3100	5,5
Te	830	29	1200	6
Te+Si	845	25	500	4,45
Te+Si	845	8	500	4,45
Te+Si	852	2,2	1000	8

Другая тенденция — это уменьшение подвижности носителей заряда в два и более раза с понижением температуры роста слоев с 850 до 845 и  $830^\circ\text{C}$ . Уменьшение подвижности носителей заряда при введении совместно с теллуром кремния обусловлено донорно-акцепторными компенсирующими свойствами кремния. Факт уменьшения подвижности при снижении температуры роста можно объяснить увеличением концентрации носителей заряда в теллуре в выращиваемых слоях в связи с изменением его растворимости в арсениде галлия [7, с. 84—85].

В нашем случае, в связи с изменением начальной температуры изменяется ток через структуру, и корреляционные параметры определяются по зависимо-

$$\text{сти } \frac{1}{\mu} \sim N \sim I(T_{\text{нач}}).$$

Рассмотрим эксперимент, в котором исследовалось влияние на подвижность и концентрацию носи-

## ТЕХНОЛОГИЧЕСКИЕ ПРОЦЕССЫ И ОБОРУДОВАНИЕ

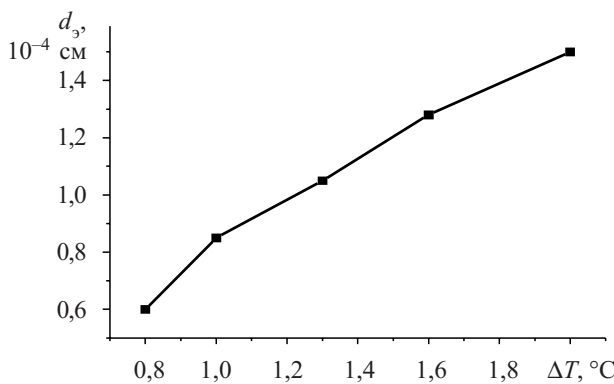


Рис. 3. Зависимость толщины выращиваемого слоя от интервала температуры процесса роста

телей заряда изменения интервала температуры роста слоев, легированных оловом, выращенных из равного количества растворов-расплавов с идентичными параметрами, т. е. с одинаковой концентрацией носителей в источнике и начальной температурой кристаллизации. Исходная толщина слоев определялась по измерениям вольт-емкостных характеристик, а исследование зависимости толщины от изменения температуры роста позволяет установить взаимосвязь технологического режима и параметров выращиваемых слоев. Установленная типичная усредненная зависимость толщины выращиваемого слоя  $d_3$  от интервала температуры процесса роста  $\Delta T = T_{\text{нач}} - T_{\text{конец}}$  при начальной температуре  $T_{\text{нач}} = 845^{\circ}\text{C}$  приведена на рис. 3.

Результаты измерений на усовершенствованной установке Холла (рис. 1) и определенные по формулам (2) и (3)  $\mu_r$  и  $N$  для арсенид-галлиевых эпитаксиальных слоев, легированных оловом, полученных при заданных интервалах температуры процесса выращивания, сведены в табл. 2.

Из таблицы видно, что с уменьшением  $\Delta T$  толщина слоев, а также подвижность носителей заряда уменьшаются по определенной закономерности. Так, в эпитаксиальных слоях, выращенных из раствора-расплава с источником из  $n\text{GaAs}$ , легированного оловом с концентрацией не выше  $2 \cdot 10^{16} \text{ см}^{-3}$ , концентрация носителей заряда лежит в интервале  $(1,23 - 1,92) \cdot 10^{16} \text{ см}^{-3}$ , а подвижность носителей заряда изменяется в пределах  $5530 - 3550 \text{ см}^2/\text{Вс}$ . При малом интервале температуры роста концентрация носителей в эпитаксиальных слоях  $(1,92 \cdot 10^{16} \text{ см}^{-3})$  сравни-

Таблица 2  
Экспериментально-расчетные данные для эпитаксиальных слоев, легированных Sn

$\Delta T, ^{\circ}\text{C}$	2	1,6	1,3	1	0,8
$d_3, 10^{-4} \text{ см}$	1,5	1,28	1,05	0,85	0,6
$V, \text{ В}$	0,054	0,074	0,055	0,03	0,019
$I_{\text{СИ}}, 10^{-7} \text{ А}$	1,23	1,45	0,88	0,39	0,17
$V(\bar{B}), \text{ В}$	0,058	0,079	0,057	0,031	0,019
$\Delta V, \text{ В}$	0,004	0,0046	0,0025	0,0012	0,0006
$\mu_r, \text{ см}^2/\text{Вс}$	5530	4986	4279	4000	3550
$N, 10^{16} \text{ см}^{-3}$	1,23	1,37	1,6	1,71	1,92

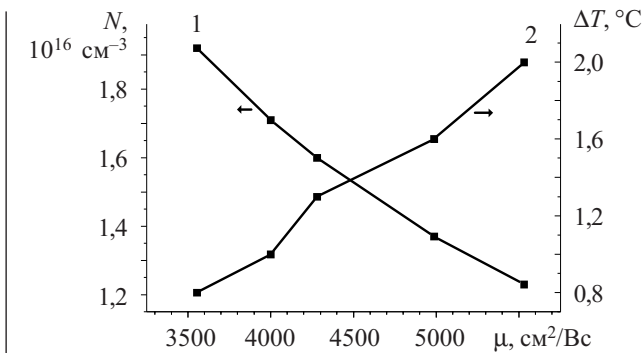


Рис. 4. Зависимость подвижности электронов от концентрации носителей заряда, характер которой задается интервалом температуры процесса жидкостной эпитаксии

ма с концентрацией в источнике ( $2 \cdot 10^{16} \text{ см}^{-3}$ ). По мере увеличения  $\Delta T$  вместе с уменьшением концентрации носителей ( $1,23 \cdot 10^{16} \text{ см}^{-3}$ ) увеличиваются значения подвижности носителей заряда ( $5530 \text{ см}^2/\text{Вс}$ ).

В эпитаксиальных слоях, легированных теллуром, в отличие от слоев, легированных оловом, зависимость концентрации носителей от интервала температуры имеет возрастающий характер.

Анализ полученных данных показывает возможность управления параметрами выращиваемых эпитаксиальных слоев. Из рис. 4 видно, что основываясь на соответствующей зависимости подвижности от концентрации, характер которой определяется интервалом температуры роста слоев, можно получать слои с различными параметрами — с высокой подвижностью носителей заряда (для фоточувствительных структур) и с умеренной подвижностью (для теплочувствительных структур).

### Заключение

Таким образом, проведенные эксперименты показывают, что изменения начальную температуру процесса выращивания, можно достигнуть участка на кривой зависимости  $N=f(\mu)$ , где начальные параметры эпитаксиального слоя определяются состоянием раствора-расплава. Подбирая интервал температуры процесса выращивания, можно получить слои с требуемой подвижностью и концентрацией носителей заряда.

### ИСПОЛЬЗОВАННЫЕ ИСТОЧНИКИ

- Казакова Л. П., Мынбаева М. Г., Мынбаев К. Д. Дрейфовая подвижность носителей заряда в пористом карбиде кремния // Физика и техника полупроводников. — 2004. — Т. 38, вып. 9. — С. 1118—1120.
- Ботнарюк М. В., Жиляев Ю. В., Орлова Т. А. и др. Корреляция электрофизических и люминесцентных свойств GaAs высокой чистоты // Письма в ЖТФ. — 2004. — Т. 30, вып. 19. — С. 25—29.
- Малин Б. В., Сонин М. С. Параметры и свойства полевых транзисторов. — М.: Энергия, 1967.
- Павлов Л. П. Методы измерения параметров полупроводниковых материалов. — М.: Выш. школа, 1987.
- Lartale R. D., Walter A. H., Martin C. S. A rapid evaluation technique for functional Gunn diodes // IEEE Transactions on Electron Devices. — 1970. — Vol. e-17, N. 4. — P. 271—274.
- А. с. 762253 СССР. Способ получения  $p-n$ -переходов на основе полупроводниковых соединений  $A^3B^5$  / А. В. Каримов, М. Мирзабаев. — 16.05. 1980.
- Андреев В. М., Долгинов Л. М., Третьяков Д. Н. Жидкостная эпитаксия в технологии полупроводниковых приборов. — М.: Сов. радио, 1975.